

SD. 6227. 4. 2026. May



NetWorks Sp. z o.o.
Laboratorium Badań Środowiskowych
ul. Józefa Piusa Dziekońskiego 3
00-728 Warszawa
e-mail: Laboratorium@networks.pl



AB 419

S P R A W O Z D A N I E 12020/2025/OS
Z POMIARÓW PÓL ELEKTROMAGNETYCZNYCH
WYKONANYCH DLA POTRZEB OCHRONY ŚRODOWISKA

Badany obiekt: Instalacja radiokomunikacyjna T-Mobile Polska S.A.

Numer i nazwa: 34022 (44022N!) GOL_OLSZTYN_GUTKOWO

Adres: OLSZTYN, SOKOLA DZ.50/8, Powiat m. Olsztyn, WOJ. WARMIŃSKO-MAZURSKIE

Data wykonania pomiarów: 2026-01-15

Sprawozdanie z badań bez pisemnej zgody laboratorium nie może być powielane inaczej niż w całości.
Wynik przedstawione w niniejszym sprawozdaniu odnoszą się wyłącznie do badanego obiektu i do warunków i konfiguracji urządzeń w dniu wykonywania pomiarów.

1. Właściciel badanego obiektu:

T-Mobile Polska S.A., ul. Marynarska 12, 02-674 Warszawa

2. Zleceniodawca:

T-Mobile Polska S.A., ul. Marynarska 12, 02-674 Warszawa

3. Przedstawiciel zleceniodawcy:

NetWorks Sp. z o.o.

4. Zakres zlecenia:

Wykonanie badania i opracowanie sprawozdania z pomiarów natężenia pola elektrycznego i pola magnetycznego dla instalacji radiokomunikacyjnej T-Mobile Polska S.A. zlokalizowanej w miejscowości OLSZTYN, SOKOLA DZ.50/8.

5. Cel zlecenia:

Wykonanie pomiarów pól elektromagnetycznych w otoczeniu instalacji radiokomunikacyjnej 34022 (44022N!) GOL_OLSZTYN_GUTKOWO w odniesieniu do wymagań określonych w *Rozporządzeniu Ministra Klimatu z dnia 17 lutego 2020 r. w sprawie sposobów sprawdzania dotrzymania dopuszczalnych poziomów pól elektromagnetycznych w środowisku (Dz.U. 2022 poz. 2630)*.

6. Pomiary zostały wykonane przez:

7. Informacje o źródłach pól elektromagnetycznych

7.1. Sposób identyfikacji badanych źródeł pól elektromagnetycznych

Identyfikacji źródeł i parametrów technicznych dokonano na podstawie analizy dokumentacji dotyczącej zlecenia oraz obserwacji miejsca wykonywania badań.

7.2. Opis miejsca zainstalowania anten i urządzeń technicznych. Opis obiektu badań i jego otoczenia

Instalacja radiokomunikacyjna zlokalizowana jest na terenie ogrodzonym. Anteny zawieszono na wieży strunobetonowej. Urządzenia sterujące oraz zasilające zainstalowano w kontenerze u podstawy wieży. Wokół instalacji znajdują się tereny przemysłowe.

Instalacja radiokomunikacyjna jest obiektem bezobsługowym. Okresowe stanowiska pracy związane są z prowadzonymi w zależności od potrzeb konserwacjami, przeglądami, strojeniem i naprawami.

7.3. Parametry techniczne źródła pola elektromagnetycznego

Dane przedstawiające maksymalne parametry pracy instalacji przekazane przez zleceniodawcę:

Parametry systemu nadawczo-odbiorczego:

Charakterystyka promieniowania		Kierunkowa					
Rzeczywisty czas pracy [h/dobę]		24					
Warunki pracy		Znamionowe					
Rodzaj wytwarzanego pola		Stacjonarne					
Lp.	Częstotliwość lub zakresy częstotliwości pracy [MHz]	Typ/producent anteny	liczba anten	Azymut [°]	kąt pochylenia [°]	Wysokość środka elektrycznego anteny [m n.p.t.]	Równoważna moc promieniowana izotropowo (EIRP) [W]
1	3600	AQQQ NSN	1	40	4-10**	41	47886
2	800/900/1800/2100/2600	ASI4518R39v07 Huawei	1	40	2-12**/2-12**/ 2-12**/2-12**/ 2-12**	41	30442
3	3600	AQQQ NSN	1	190	4-10**	41	47886
4	800/900/1800/2100/2600	ASI4518R39v07 Huawei	1	190	2-12**/2-12**/ 2-12**/2-12**/ 2-12**	41	30442
5	800/2600	ATR4518R11v06 Huawei	1	280	0-10**/0-10**	41.3	13051
6	3600	AQQQ NSN	1	280	4-10**	41.3	47886
7	900/1800/2100	ATR4518R11v06 Huawei	1	280	0-10**/0-10**/ 0-10**	41.3	17965

* wskazane wartości kąta pochylenia anten, zgodnie z informacją uzyskaną od zleceniodawcy, są wartościami stałymi
 ** pomiary wykonano zgodnie z pkt 13., ppkt 2 załącznika do Rozporządzenia Ministra Klimatu z dnia 17 lutego 2020 r. (Dz. U. 2022, poz. 2630).

Parametry radiolinii:

Charakterystyka promieniowania		kierunkowa					
Rzeczywisty czas pracy [h/dobę]		24					
Warunki pracy		znamionowe					
Rodzaj wytwarzanego pola		stacjonarne					
Lp.	Linia radiowa			Antena			
	Typ/Producent	Częstotliwość pracy [GHz]	Równoważna moc promieniowana izotropowo (EIRP) [W]	Typ/producent	Średnica anteny [m]	Azymut [°]	Wysokość zamontowania n.p.t. [m]
1.	NP ERICSSON ML 6365 23GHz 2x28MHz XPIC/ NP ERICSSON ML 6352/3 70/80GHz 250MHz Ericsson	23/80	4582/8512	ANT2/2_0.6 23/80 HPX/HP Ericsson	0.6	19	39.5
2.	NP ERICSSON ML 6363 23GHz 2x28MHz XPIC/ NP ERICSSON ML 6352 R2+ 70/80GHz 250MHz Ericsson	23/80	2297/4266	ANT2/2_0.6 23/80 HPX/HP Ericsson	0.6	48	42.4
3.	NP ERICSSON ML 6352/3 70/80GHz 250MHz Ericsson	80	14126	ANT2_0.6 80 HP/HPX Ericsson	0.6	222	39
4.	NP ERICSSON ML 6365 23GHz 2x28MHz XPIC/ NP ERICSSON ML 6352/3 70/80GHz 250MHz Ericsson	23/80	4582/8512	ANT2/2_0.6 23/80 HPX/HP Ericsson	0.6	265	41
5.	NP ERICSSON ML 6363 23GHz 2x56MHz XPIC/ NP ERICSSON ML 6352/3 70/80GHz 500MHz Ericsson	23/80	2297/8512	ANT2/2_0.6 23/80 HPX/HP Ericsson	0.6	293	42

Sprawozdanie z badań bez pisemnej zgody laboratorium nie może być powielane inaczej niż w całości.
 Wynik przedstawione w niniejszym sprawozdaniu odnoszą się wyłącznie do badanego obiektu i do warunków i konfiguracji urządzeń w dniu wykonywania pomiarów.

7.4 Inne źródła pól elektromagnetycznych

Na podstawie informacji otrzymanych od użytkownika oraz obserwacji otoczenia miejsca wykonywania pomiarów stwierdzono występowanie innych źródeł pola-EM, pracujących w systemach: telefonii komórkowej (800MHz-3800MHz), linii radiowych (5GHz-90GHz), które istotnie wpływają na wyniki pomiarów.

8. Opis pomiarów

8.1. Metoda badań

Zgodna z rozporządzeniem Ministra Klimatu z dnia 17 lutego 2020 r. w sprawie sposobów sprawdzania dotrzymania dopuszczalnych poziomów pól elektromagnetycznych w środowisku (Dz.U. 2022 poz. 2630), określona w pkt 25 ppkt 1 załącznika do niniejszego rozporządzenia.

8.2. Termin pomiarów i warunki środowiskowe

Podczas wykonywania pomiarów pól elektromagnetycznych nie występowały opady atmosferyczne. Wyniki pomiaru parametrów pogodowych przedstawia poniższa tabela:

Data [rrrr-mm-dd]	Godzina [hh:mm-hh:mm]	Warunki środowiskowe			
		Temperatura [°C]		Wilgotność względna [%]	
2026-01-15	10:50-12:10	Przed pomiarem	Po pomiarach	Przed pomiarem	Po pomiarach
		0.5	0.9	73.3	73.0

Przedstawione wyżej warunki środowiskowe, występujące podczas wykonywania pomiarów pól elektromagnetycznych, są zgodne ze specyfikacją techniczną użytego zestawu pomiarowego.

8.3. Warunki pracy urządzeń nadawczych

Podczas pomiarów w przypadku uzyskania wyniku pomiaru szerokopasmowego wykonanego zastosowaną metodą, dla zakresów częstotliwości od 10 MHz do 300 GHz, powiększonego o rozszerzoną niepewność pomiaru U dla współczynnika rozszerzenia $k = 2$ przekraczającego 70% najniższej dopuszczalnej wartości składowej elektrycznej lub magnetycznej pola dla objętych pomiarami zakresów częstotliwości, uwzględnia się poprawki pomiarowe przekazane przez zleceniodawcę, umożliwiające uwzględnienie maksymalnych parametrów pracy instalacji zgodnie z pkt 7 załącznika do Rozporządzeniem Ministra Klimatu z dnia 17 lutego 2020 r. w sprawie sposobów sprawdzania dotrzymania dopuszczalnych poziomów pól elektromagnetycznych w środowisku (Dz. U. 2022, poz. 2630) zaznaczając, że wymagane jest wykonanie pomiaru z wykorzystaniem miernika selektywnego. W przypadku uzyskania wyniku pomiaru szerokopasmowego wykonanego zastosowaną metodą, dla zakresów częstotliwości od 10 MHz do 300 GHz, powiększonego o rozszerzoną niepewność pomiaru U dla współczynnika rozszerzenia $k = 2$ nieprzekraczającego 70% najniższej dopuszczalnej wartości składowej elektrycznej lub magnetycznej pola dla objętych pomiarami zakresów częstotliwości, nie uwzględnia się poprawek pomiarowych.

8.4. Wyposażenie pomiarowe

Zestaw pomiarowy służący do pomiaru natężenia składowej elektrycznej pola elektromagnetycznego złożony z szerokopasmowego miernika i sondy pomiarowej:

Oznaczenie miernika	Producent	Model	Numer fabryczny	Oznaczenie sondy	Producent	Model	Numer fabryczny
MF-04	Narda Safety Test Solution	Miernik pól elektromagnetycznych Narda FieldMan	C-0167	SF-07	Narda Safety Test Solution	Sonda EFD-9091	A-0063

Mierniki natężenia pola elektromagnetycznego podlegają okresowemu sprawdzeniu zgodnie z procedurą wewnętrzną P-03 i PB-01. Świadczenie wzorcowania zestawu pomiarowego z dnia 2 grudnia 2024 o numerze LWiMP/W/417/24 wydane przez Politechnika Wrocławską. Data ważności świadectwa wzorcowania: 2 grudnia 2026 (zgodnie z procedurą wewnętrzną P-03).

Oznaczenie miernika	Producent	Model	Numer fabryczny	Oznaczenie sondy	Producent	Model	Numer fabryczny
MF-04	Narda Safety Test Solution	Miernik pól elektromagnetycznych Narda FieldMan	C-0167	SF-08	Narda Safety Test Solution	Sonda EFD-0691	A-0060

Mierniki natężenia pola elektromagnetycznego podlegają okresowemu sprawdzeniu zgodnie z procedurą wewnętrzną P-03 i PB-01. Świadczenie wzorcowania zestawu pomiarowego z dnia 2 grudnia 2024 o numerze LWiMP/W/417/24 wydane przez Politechnika Wrocławską. Data ważności świadectwa wzorcowania: 2 grudnia 2026 (zgodnie z procedurą wewnętrzną P-03).

Sprawozdanie z badań bez pisemnej zgody laboratorium nie może być powielane inaczej niż w całości.

Wynik przedstawione w niniejszym sprawozdaniu odnoszą się wyłącznie do badanego obiektu i do warunków i konfiguracji urządzeń w dniu wykonywania pomiarów.

Termohigrometr:

Oznaczenie:	TH-35	Producent:	TESTO	Model:	Termohigrometr TESTO 625
-------------	-------	------------	-------	--------	--------------------------

Data ważności świadectwa wzorcowania: 20 lutego 2028 (zgodnie z procedurą wewnętrzną P-03).

Dalmierz:

Oznaczenie	Producent	Typ	Numer seryjny	Nr świadectwa wzorcowania	Data świadectwa wzorcowania
D-08	Leica	Dalmierz Leica Disto D510	1042957273	Z3- Z32.4180.182.2024.4196.1	7 stycznia 2025

Data ważności świadectwa wzorcowania: 7 stycznia 2035 (zgodnie z procedurą wewnętrzną P-03).

Odbiornik GNSS:

Odbiornik GNSS wbudowany w miernik natężenia pola elektromagnetycznego użyty podczas pomiarów	Producent	Model
	UBlox	NEO-M8T

Odbiorniki podlegają okresowemu sprawdzeniu zgodnie z procedurą wewnętrzną P-03.

9. Wyniki pomiarów

Pole elektryczne

Nr pionu	Opis umiejscowienia pionu (punktu) pomiarowego	Wysokość pomiaru [m]	Zmierzona wartość natężenia pola elektrycznego E [V/m] ^{1,5}			Wartość natężenia pola elektrycznego powiększona o niepewność pomiaru ⁴ E [V/m]	Wskaźnikowa wartość poziomu emisji pól elektromagnetycznych WMe ³	Współrzędne geograficzne pionu (punktu) pomiarowego ²
			Sonda SF-07	Sonda SF-08	Wartość			
1	GKP w odległości poziomej 8m od anteny sektorowej az. 280°	2.0	1.2	1.2	1.2	1.5	0.05	53°48'29.2" 20°24'24.1"
2	GKP w odległości poziomej 55m od anteny sektorowej az. 280°	2.0	1.2	1.2	1.2	1.5	0.05	53°48'29.5" 20°24'21.6"
3	GKP w odległości poziomej 54m od anteny radioliniowej az. 293°	2.0	1.1	1.1	1.1	1.4	0.05	53°48'29.9" 20°24'22.0"
4	PKP na az. 287° w odległości poziomej 55m od anteny sektorowej az. 280°	2.0	1.2	1.2	1.2	1.5	0.05	53°48'29.5" 20°24'21.6"
5	PKP na az. 300° w odległości poziomej 55m od anteny sektorowej az. 280°	2.0	1.1	1.1	1.1	1.4	0.05	53°48'29.9" 20°24'22.0"
6	PKP na az. 315° w odległości poziomej 55m od anteny sektorowej az. 280°	0.3-2.0	<1.0*	<1.0*	<1.0*	1.3	0.05	53°48'30.2" 20°24'22.3"
7	PKP na az. 273° w odległości poziomej 55m od anteny sektorowej az. 280°	2.0	1.2	1.2	1.2	1.5	0.05	53°48'29.2" 20°24'21.6"
8	GKP w odległości poziomej 55m od anteny radioliniowej az. 265°	2.0	1.1	1.1	1.1	1.4	0.05	53°48'28.8" 20°24'21.6"
9	PKP na az. 260° w odległości poziomej 55m od anteny sektorowej az. 280°	2.0	1.1	1.1	1.1	1.4	0.05	53°48'28.8" 20°24'21.6"
10	PKP na az. 245° w odległości poziomej 56m od anteny sektorowej az. 280°	2.0	1.2	1.2	1.2	1.5	0.05	53°48'28.4" 20°24'21.6"
11	GKP w odległości poziomej 111m od anteny sektorowej az. 280°	2.0	1.1	1.1	1.1	1.4	0.05	53°48'29.9" 20°24'18.7"
12	GKP w odległości poziomej 56m od anteny radioliniowej az. 222°	2.0	1.0	1.0	1.0	1.3	0.05	53°48'27.7" 20°24'22.7"
13	GKP w odległości poziomej 6m od anteny sektorowej az. 190°	2.0	1.2	1.2	1.2	1.5	0.05	53°48'28.8" 20°24'24.5"
14	GKP w odległości poziomej 56m od anteny sektorowej az. 190°	2.0	1.0	1.0	1.0	1.3	0.05	53°48'27.4" 20°24'24.1"
15	PKP na az. 183° w odległości poziomej 56m od anteny sektorowej az. 190°	0.3-2.0	<1.0*	<1.0*	<1.0*	1.3	0.05	53°48'27.4" 20°24'24.5"
16	PKP na az. 170° w odległości poziomej 55m od anteny sektorowej az. 190°	0.3-2.0	<1.0*	<1.0*	<1.0*	1.3	0.05	53°48'27.4" 20°24'25.2"
17	PKP na az. 155° w odległości poziomej 46m od anteny sektorowej az. 190°	2.0	1.0	1.0	1.0	1.3	0.05	53°48'27.7" 20°24'25.9"
18	PKP na az. 197° w odległości poziomej 57m od anteny sektorowej az. 190°	2.0	1.1	1.1	1.1	1.4	0.05	53°48'27.4" 20°24'23.8"
19	PKP na az. 210° w odległości poziomej 57m od anteny sektorowej az. 190°	0.3-2.0	<1.0*	<1.0*	<1.0*	1.3	0.05	53°48'27.4" 20°24'23.0"
20	PKP na az. 225° w odległości poziomej 56m od anteny sektorowej az. 190°	2.0	1.0	1.0	1.0	1.3	0.05	53°48'27.7" 20°24'22.7"

Sprawozdanie z badań bez pisemnej zgody laboratorium nie może być powielane inaczej niż w całości.

Wynik przedstawione w niniejszym sprawozdaniu odnoszą się wyłącznie do badanego obiektu i do warunków i konfiguracji urządzeń w dniu wykonywania pomiarów.

21	GKP w odległości poziomej 7m od anteny sektorowej az. 40°	2.0	1.1	1.1	1.1	1.4	0.05	53°48'29.5" 20°24'24.8"
22	GKP w odległości poziomej 42m od anteny sektorowej az. 40°	0.3-2.0	<1.0*	<1.0*	<1.0*	1.3	0.05	53°48'30.2" 20°24'26.3"
23	GKP w odległości poziomej 36m od anteny radioliniowej az. 19°	0.3-2.0	<1.0*	<1.0*	<1.0*	1.3	0.05	53°48'30.2" 20°24'25.2"
24	GKP w odległości poziomej 46m od anteny radioliniowej az. 48°	0.3-2.0	<1.0*	<1.0*	<1.0*	1.3	0.05	53°48'29.9" 20°24'26.6"
25	PKP na az. 20° w odległości poziomej 36m od anteny sektorowej az. 40°	0.3-2.0	<1.0*	<1.0*	<1.0*	1.3	0.05	53°48'30.2" 20°24'25.6"
26	PKP na az. 5° w odległości poziomej 38m od anteny sektorowej az. 40°	0.3-2.0	<1.0*	<1.0*	<1.0*	1.3	0.05	53°48'30.2" 20°24'24.8"
27	PKP na az. 33° w odległości poziomej 40m od anteny sektorowej az. 40°	0.3-2.0	<1.0*	<1.0*	<1.0*	1.3	0.05	53°48'30.2" 20°24'25.9"
28	PKP na az. 47° w odległości poziomej 42m od anteny sektorowej az. 40°	0.3-2.0	<1.0*	<1.0*	<1.0*	1.3	0.05	53°48'29.9" 20°24'26.6"
29	PKP na az. 60° w odległości poziomej 48m od anteny sektorowej az. 40°	0.3-2.0	<1.0*	<1.0*	<1.0*	1.3	0.05	53°48'29.9" 20°24'27.0"
30	PKP na az. 75° w odległości poziomej 56m od anteny sektorowej az. 40°	0.3-2.0	<1.0*	<1.0*	<1.0*	1.3	0.05	53°48'29.5" 20°24'27.7"
31	GKP w odległości poziomej 73m od anteny sektorowej az. 40°	0.3-2.0	<1.0*	<1.0*	<1.0*	1.3	0.05	53°48'31.0" 20°24'27.4"
32	GKP w odległości poziomej 102m od anteny sektorowej az. 40°	0.3-2.0	<1.0*	<1.0*	<1.0*	1.3	0.05	53°48'31.7" 20°24'28.4"
33	GKP w odległości poziomej 130m od anteny sektorowej az. 40°	0.3-2.0	<1.0*	<1.0*	<1.0*	1.3	0.05	53°48'32.4" 20°24'29.2"
-	GKP w odległości poziomej 242m od anteny sektorowej az. 40°	0.3-2.0	<1.0*	<1.0*	<1.0*	1.3	0.05	53°48'35.3" 20°24'33.1"
-	GKP w odległości poziomej 285m od anteny sektorowej az. 280°	2.0	1.6	1.6	1.6	2.1	0.07	53°48'30.6" 20°24'9.0"
-	GKP w odległości poziomej 203m od anteny sektorowej az. 190°	0.3-2.0	<1.0*	<1.0*	<1.0*	1.3	0.05	53°48'22.7" 20°24'22.7"
37	GKP w odległości poziomej 109m od anteny sektorowej az. 190°	2.0	1.0	1.0	1.0	1.3	0.05	53°48'25.6" 20°24'23.8"

Pole magnetyczne (wyznaczone na podstawie pomiaru wartości natężenia pola elektrycznego)

Nr pionu	Opis umiejscowienia pionu (punktu pomiarowego)	Wysokość pomiaru [m]	Wartość natężenia pola magnetycznego H [A/m] ¹			Wartość natężenia pola magnetycznego powiększona o niepewność pomiaru ⁴ H [A/m]	Wskaźnikowa wartość poziomu emisji pól elektromagnetycznych WM _H ³	Współrzędne geograficzne pionu (punktu pomiarowego) ²
			Sonda SF-07	Sonda SF-08	Wartość			
1	GKP w odległości poziomej 8m od anteny sektorowej az. 280°	2.0	0.003	0.003	0.003	0.004	0.06	53°48'29.2" 20°24'24.1"
2	GKP w odległości poziomej 55m od anteny sektorowej az. 280°	2.0	0.003	0.003	0.003	0.004	0.06	53°48'29.5" 20°24'21.6"
3	GKP w odległości poziomej 54m od anteny radioliniowej az. 293°	2.0	0.003	0.003	0.003	0.004	0.05	53°48'29.9" 20°24'22.0"
4	PKP na az. 287° w odległości poziomej 55m od anteny sektorowej az. 280°	2.0	0.003	0.003	0.003	0.004	0.06	53°48'29.5" 20°24'21.6"
5	PKP na az. 300° w odległości poziomej 55m od anteny sektorowej az. 280°	2.0	0.003	0.003	0.003	0.004	0.05	53°48'29.9" 20°24'22.0"
6	PKP na az. 315° w odległości poziomej 55m od anteny sektorowej az. 280°	0.3-2.0	<0.003*	<0.003*	<0.003*	0.003	0.05	53°48'30.2" 20°24'22.3"
7	PKP na az. 273° w odległości poziomej 55m od anteny sektorowej az. 280°	2.0	0.003	0.003	0.003	0.004	0.06	53°48'29.2" 20°24'21.6"
8	GKP w odległości poziomej 55m od anteny radioliniowej az. 265°	2.0	0.003	0.003	0.003	0.004	0.05	53°48'28.8" 20°24'21.6"
9	PKP na az. 260° w odległości poziomej 55m od anteny sektorowej az. 280°	2.0	0.003	0.003	0.003	0.004	0.05	53°48'28.8" 20°24'21.6"
10	PKP na az. 245° w odległości poziomej 56m od anteny sektorowej az. 280°	2.0	0.003	0.003	0.003	0.004	0.06	53°48'28.4" 20°24'21.6"
11	GKP w odległości poziomej 111m od anteny sektorowej az. 280°	2.0	0.003	0.003	0.003	0.004	0.05	53°48'29.9" 20°24'18.7"
12	GKP w odległości poziomej 56m od anteny radioliniowej az. 222°	2.0	0.003	0.003	0.003	0.003	0.05	53°48'27.7" 20°24'22.7"

Sprawozdanie z badań bez pisemnej zgody laboratorium nie może być powielane inaczej niż w całości.

Wynik przedstawione w niniejszym sprawozdaniu odnoszą się wyłącznie do badanego obiektu i do warunków i konfiguracji urządzeń w dniu wykonywania pomiarów.

13	GKP w odległości poziomej 6m od anteny sektorowej az. 190°	2.0	0.003	0.003	0.003	0.004	0.06	53°48'28.8" 20°24'24.5"
14	GKP w odległości poziomej 56m od anteny sektorowej az. 190°	2.0	0.003	0.003	0.003	0.003	0.05	53°48'27.4" 20°24'24.1"
15	PKP na az. 183° w odległości poziomej 56m od anteny sektorowej az. 190°	0.3-2.0	<0.003*	<0.003*	<0.003*	0.003	0.05	53°48'27.4" 20°24'24.5"
16	PKP na az. 170° w odległości poziomej 55m od anteny sektorowej az. 190°	0.3-2.0	<0.003*	<0.003*	<0.003*	0.003	0.05	53°48'27.4" 20°24'25.2"
17	PKP na az. 155° w odległości poziomej 46m od anteny sektorowej az. 190°	2.0	0.003	0.003	0.003	0.003	0.05	53°48'27.7" 20°24'25.9"
18	PKP na az. 197° w odległości poziomej 57m od anteny sektorowej az. 190°	2.0	0.003	0.003	0.003	0.004	0.05	53°48'27.4" 20°24'23.8"
19	PKP na az. 210° w odległości poziomej 57m od anteny sektorowej az. 190°	0.3-2.0	<0.003*	<0.003*	<0.003*	0.003	0.05	53°48'27.4" 20°24'23.0"
20	PKP na az. 225° w odległości poziomej 56m od anteny sektorowej az. 190°	2.0	0.003	0.003	0.003	0.003	0.05	53°48'27.7" 20°24'22.7"
21	GKP w odległości poziomej 7m od anteny sektorowej az. 40°	2.0	0.003	0.003	0.003	0.004	0.05	53°48'29.5" 20°24'24.8"
22	GKP w odległości poziomej 42m od anteny sektorowej az. 40°	0.3-2.0	<0.003*	<0.003*	<0.003*	0.003	0.05	53°48'30.2" 20°24'26.3"
23	GKP w odległości poziomej 36m od anteny radioliniowej az. 19°	0.3-2.0	<0.003*	<0.003*	<0.003*	0.003	0.05	53°48'30.2" 20°24'25.2"
24	GKP w odległości poziomej 46m od anteny radioliniowej az. 48°	0.3-2.0	<0.003*	<0.003*	<0.003*	0.003	0.05	53°48'29.9" 20°24'26.6"
25	PKP na az. 20° w odległości poziomej 36m od anteny sektorowej az. 40°	0.3-2.0	<0.003*	<0.003*	<0.003*	0.003	0.05	53°48'30.2" 20°24'25.6"
26	PKP na az. 5° w odległości poziomej 38m od anteny sektorowej az. 40°	0.3-2.0	<0.003*	<0.003*	<0.003*	0.003	0.05	53°48'30.2" 20°24'24.8"
27	PKP na az. 33° w odległości poziomej 40m od anteny sektorowej az. 40°	0.3-2.0	<0.003*	<0.003*	<0.003*	0.003	0.05	53°48'30.2" 20°24'25.9"
28	PKP na az. 47° w odległości poziomej 42m od anteny sektorowej az. 40°	0.3-2.0	<0.003*	<0.003*	<0.003*	0.003	0.05	53°48'29.9" 20°24'26.6"
29	PKP na az. 60° w odległości poziomej 48m od anteny sektorowej az. 40°	0.3-2.0	<0.003*	<0.003*	<0.003*	0.003	0.05	53°48'29.9" 20°24'27.0"
30	PKP na az. 75° w odległości poziomej 56m od anteny sektorowej az. 40°	0.3-2.0	<0.003*	<0.003*	<0.003*	0.003	0.05	53°48'29.5" 20°24'27.7"
31	GKP w odległości poziomej 73m od anteny sektorowej az. 40°	0.3-2.0	<0.003*	<0.003*	<0.003*	0.003	0.05	53°48'31.0" 20°24'27.4"
32	GKP w odległości poziomej 102m od anteny sektorowej az. 40°	0.3-2.0	<0.003*	<0.003*	<0.003*	0.003	0.05	53°48'31.7" 20°24'28.4"
33	GKP w odległości poziomej 130m od anteny sektorowej az. 40°	0.3-2.0	<0.003*	<0.003*	<0.003*	0.003	0.05	53°48'32.4" 20°24'29.2"
-	GKP w odległości poziomej 242m od anteny sektorowej az. 40°	0.3-2.0	<0.003*	<0.003*	<0.003*	0.003	0.05	53°48'35.3" 20°24'33.1"
-	GKP w odległości poziomej 285m od anteny sektorowej az. 280°	2.0	0.004	0.004	0.004	0.005	0.07	53°48'30.6" 20°24'9.0"
-	GKP w odległości poziomej 203m od anteny sektorowej az. 190°	0.3-2.0	<0.003*	<0.003*	<0.003*	0.003	0.05	53°48'22.7" 20°24'22.7"
37	GKP w odległości poziomej 109m od anteny sektorowej az. 190°	2.0	0.003	0.003	0.003	0.003	0.05	53°48'25.6" 20°24'23.8"

GKP – Główny Kierunek Pomiarowy

PKP – Pomocniczy Kierunek Pomiarowy

¹ wyniki oznaczone * są wynikami poniżej czułości zestawu pomiarowego i są wynikami spoza zakresu akredytacji. Do obliczenia wyniku skorygowanego przyjęto wartość skorelowaną z rzeczywistym wynikiem pomiaru - dolną granicę akredytowanego zakresu pomiarowego metody

² współrzędne geograficzne pozyskane metodą pomiaru bezpośredniego

³ do wyznaczenia wartości wskaźnikowej W_{ME} i W_{MH} przyjęto na podstawie uzgodnień z klientem oraz rozpoznania źródeł, jako wartości dopuszczalne pola elektrycznego i magnetycznego odpowiednio 28 V/m i 0,073 A/m.

Sprawozdanie z badań bez pisemnej zgody laboratorium nie może być powielane inaczej niż w całości.

Wynik przedstawione w niniejszym sprawozdaniu odnoszą się wyłącznie do badanego obiektu i do warunków i konfiguracji urządzeń w dniu wykonywania pomiarów.

⁴ do wyznaczenia niepewności dla wyników poniżej czułości zestawu pomiarowego, przyjęto niepewność dla minimalnej wartości z zakresu pomiarowego.

⁵ maksymalna wartość chwilowa

Niepewność oszacowano zgodnie z dokumentem P-03 „Procedura nadzoru nad wyposażeniem” w postaci niepewności rozszerzonej wynikającej z niepewności standardowej pomnożonej przez współczynnik rozszerzenia $k=2$.

Całkowita szacowana niepewność rozszerzona składowej E wynosi odpowiednio:

sonda SF-07: 28.1% dla częstotliwości do 4 GHz, sonda SF-08: 26.6% dla częstotliwości do 4 GHz

Pomiar wykonany metodą 2 sond, opisaną w artykule Medycyna Pracy 2015;66(5):701–712 „Optymalizacja metodyki pomiaru wieloczęstotliwościowego pola elektromagnetycznego stacji bazowych telefonii komórkowej”.

Umiejscowienie pionów (punktów) pomiarowych przedstawiono w załączniku nr 2 do niniejszego sprawozdania.

W obszarze pomiarowym, w którym na podstawie uprzednio przeprowadzonych obliczeń, stwierdzono występowanie w danych zakresach częstotliwości pól elektromagnetycznych o poziomach zbliżonych do poziomów dopuszczalnych, określonych w przepisach wydanych na podstawie art. 122 ust. 1 ustawy z dnia 27 kwietnia 2001 r. – Prawo ochrony środowiska nie stwierdzono występowania zabudowy mieszkalnej.

10. Omówienie wyników pomiarów

W związku z tym, że żadna z wartości zmierzonych, udokumentowanych w tabelach w pkt. 9, uzyskanych w skutek zastosowania pomiaru szerokopasmowego, powiększonego o rozszerzoną niepewność pomiaru U dla współczynnika rozszerzenia $k = 2$ nie przekroczyła 70% najniższej dopuszczalnej wartości składowej elektrycznej lub magnetycznej pola dla objętych pomiarami zakresów częstotliwości, nie uwzględnia się poprawek pomiarowych.

W wyniku zastosowania sposobu sprawdzenia dotrzymania dopuszczalnych poziomów pól elektromagnetycznych w środowisku, zgodnie pkt 25 ppkt 1 Rozporządzenia Ministra Klimatu z dnia 17 lutego 2020 r. (Dz. U. 2022, poz. 2630), w związku z tym, że żadna z wartości wskaźnikowych, udokumentowanych w tabelach w pkt. 9 nie przekracza wartości 1, stwierdza się, że w miejscach, w których wykonano pomiary w otoczeniu instalacji radiokomunikacyjnej 34022 (44022N!) GOL_OLSZTYN_GUTKOWO, dopuszczalne poziomy pól elektromagnetycznych w środowisku należy uznać za dotrzymane.

Miejsca niedostępne podczas wykonywania pomiarów wskazane zostały w pkt. 9 (Wyniki pomiarów) lub na załączniku przedstawiającym usytuowanie pionów pomiarowych.

11. Podstawa prawna

- 1) Ustawa z dnia 27 kwietnia 2001 r. Prawo ochrony środowiska (T. j. Dz. U. z 2025 r., poz. 647 z późn. zm.)
- 2) Rozporządzenie Ministra Zdrowia z dnia 17 grudnia 2019 r. w sprawie dopuszczalnych poziomów pól elektromagnetycznych w środowisku (Dz. U. 2019, poz. 2448)
- 3) Rozporządzenie Ministra Klimatu z dnia 17 lutego 2020 r. w sprawie sposobów sprawdzania dotrzymania dopuszczalnych poziomów pól elektromagnetycznych w środowisku (Dz. U. 2022, poz. 2630),
- 4) Akredytacja nr AB 419 wydana przez Polskie Centrum Akredytacji (wydanie 24, z dnia 14 stycznia 2026 r.)

12. Spis załączników

Załącznik 1. Lokalizacja obiektu badań

Załącznik 2. Usytuowanie pionów (punktów) pomiarowych

Załącznik 3. Dokumentacja fotograficzna obiektu badań

13. Data wydania i autoryzowania sprawozdania

Obliczenia i sprawozdanie wykonał :

Sprawozdanie autoryzował:



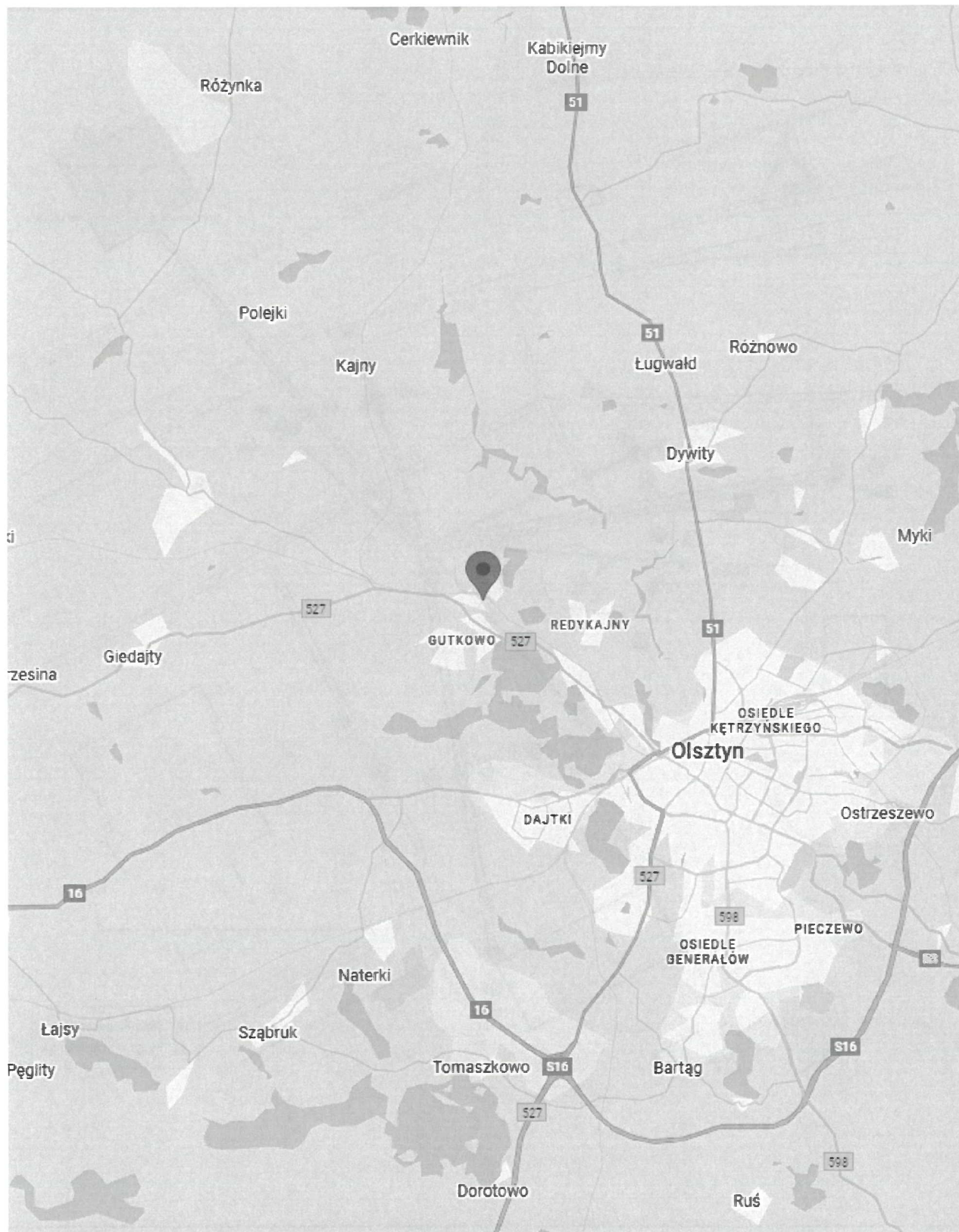
Signed by /
Podpisano przez:

Date / Data: 2026-
01-20 09:21

Koniec sprawozdania

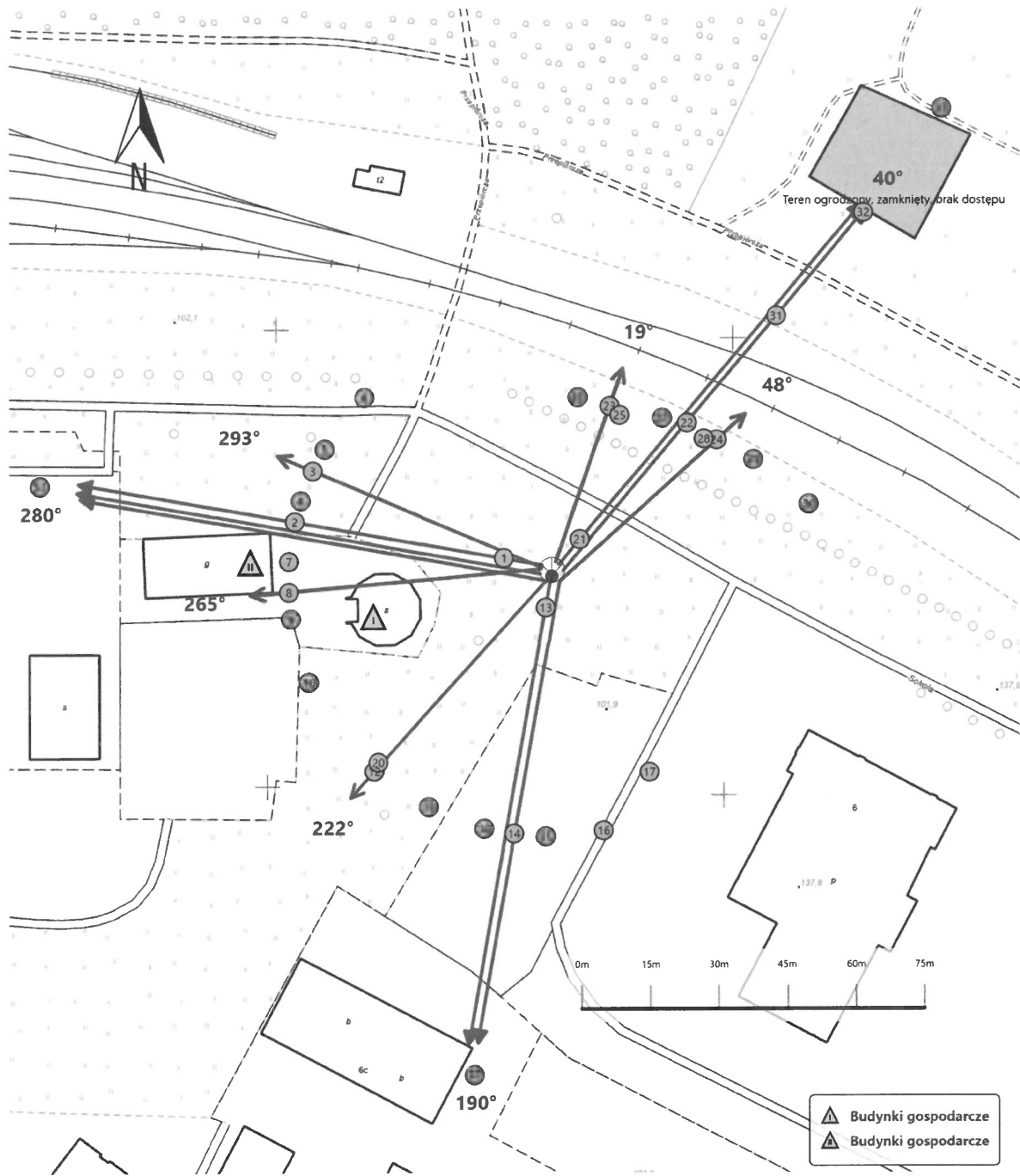
Elektronicznie podpisany
przez






Data: 2026.01.20 14:57:14
+01'00'



Załącznik nr 1	Instalacja radiokomunikacyjna T-Mobile Polska S.A. 34022 (44022N!) GOL_OLSZTYN_GUTKOWO Lokalizacja instalacji radiokomunikacyjnej
----------------	---

Sprawozdanie z badań bez pisemnej zgody laboratorium nie może być powielane inaczej niż w całości.
Wynik przedstawione w niniejszym sprawozdaniu odnoszą się wyłącznie do badanego obiektu i do warunków i konfiguracji urządzeń w dniu wykonywania pomiarów.



Załącznik nr 2	<p>Instalacja radiokomunikacyjna T-Mobile Polska S.A. GOL_OLSZTYN_GUTKOWO (44022N!)</p> <p>Usytuowanie pionów pomiarowych w otoczeniu instalacji radiokomunikacyjnej</p>
	<p>Legenda:</p> <p>  Źródło pola elektromagnetycznego  Brak dostępu  Pion pomiarowy  Kierunek oddziaływania anten sektorowych  Kierunek oddziaływania anten radioliniowych </p>

Sprawozdanie z badań bez pisemnej zgody laboratorium nie może być powielane inaczej niż w całości.
 Wynik przedstawione w niniejszym sprawozdaniu odnoszą się wyłącznie do badanego obiektu i do warunków i konfiguracji urządzeń w dniu wykonywania pomiarów.



Załącznik nr 3	Instalacja radiokomunikacyjna T-Mobile Polska S.A. 34022 (44022N!) GOL_OLSZTYN_GUTKOWO Dokumentacja fotograficzna
----------------	---

Sprawozdanie z badań bez pisemnej zgody laboratorium nie może być powielane inaczej niż w całości.
Wynik przedstawione w niniejszym sprawozdaniu odnoszą się wyłącznie do badanego obiektu i do warunków i konfiguracji urządzeń w dniu wykonywania pomiarów.